



247527

มาตรฐานของสุ่มพิษทางชีวภาพที่บันทึกโดยผู้เชี่ยวชาญด้านการคุ้มครองสุสาน
และการอนุรักษ์สิ่งแวดล้อมในประเทศไทย สำนักงานบริการสนับสนุนวิจัยแห่งชาติ

มาตรฐานสุ่มพิษทางชีวภาพ

มาตรฐานสุ่มพิษทางชีวภาพที่บันทึกโดยผู้เชี่ยวชาญด้านการคุ้มครองสุสาน
และการอนุรักษ์สิ่งแวดล้อมในประเทศไทย สำนักงานบริการสนับสนุนวิจัย
แห่งชาติ สำนักงานบริการสนับสนุนวิจัยแห่งชาติ สำนักงานบริการสนับสนุนวิจัย

ปีการศึกษา 2549

ฉบับที่หนึ่ง พิมพ์ครั้งที่หนึ่ง

b00252381



247527

ผลของสารช่วยกระจายตัวแอมโมเนียมพอลิอะคริเลตต่อพฤติกรรมการกระจายตัวของสารแขวนลอยเลดเชอร์โคเนตในน้ำสำหรับการขึ้นรูปด้วยวิธีหล่อเทป



นางสาวฤติรัตน์ สันตะโก

วิทยานิพนธ์เป็นส่วนหนึ่งของการศึกษาตามหลักสูตรปริญญาวิทยาศาสตรมหาบัณฑิต
สาขาวิชาเทคโนโลยีเซรามิก ภาควิชาวัสดุศาสตร์
คณะวิทยาศาสตร์ จุฬาลงกรณ์มหาวิทยาลัย
ปีการศึกษา 2549
ลิขสิทธิ์ของจุฬาลงกรณ์มหาวิทยาลัย



4 7 7 2 4 4 6 2 3

**EFFECTS OF AMMONIUM POLYACRYLATE DISPERSANT ON DEFLOCCULATING
BEHAVIOR OF LEAD ZIRCONATE TITANATE AQUEOUS SUSPENSION FOR TAPE
CASTING METHOD**

Miss Rudeerat Suntako

**A Thesis Submitted in Partial Fulfillment of the Requirements
for the Degree of Master of Science Program in Ceramic Technology**

Department of Materials Science

Faculty of Science

Chulalongkorn University

Academic Year 2006

Copyright of Chulalongkorn University

หัวข้อวิทยานิพนธ์

ผลของสารช่วยกระเจาด้วยตัวแอนโนเนียมพอลิอะคริเลต
ต่อพฤติกรรมการกระเจาด้วยตัวของสารเแขวนล้อย
เลดเซอร์โคเนตไฟฟานเตในน้ำสำหรับการขึ้นรูปด้วย
วิธีหล่อเทป

โดย

นางสาวฤทัยรัตน์ สันตะโก

สาขาวิชา

เทคโนโลยีเซรามิก

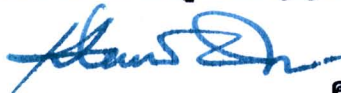
อาจารย์ที่ปรึกษาวิทยานิพนธ์

อาจารย์ ดร.นิศานาถ ไตรผล

อาจารย์ที่ปรึกษาวิทยานิพนธ์ร่วม

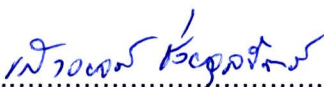
ดร.พิทักษ์ เหล่ารัตนกุล

คณะวิทยาศาสตร์ จุฬาลงกรณ์มหาวิทยาลัย อนุมัติให้นับวิทยานิพนธ์
ฉบับนี้เป็นส่วนหนึ่งของการศึกษาตามหลักสูตรปริญญามหาบัณฑิต



..... คณบดีคณะวิทยาศาสตร์
(ศาสตราจารย์ ดร.เปิ่มศักดิ์ เมนะเศวต)

คณะกรรมการสอบวิทยานิพนธ์

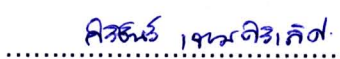

..... ประธานกรรมการ

(รองศาสตราจารย์ เสาวรจัน ชัยจุลจิตร)


..... อาจารย์ที่ปรึกษาวิทยานิพนธ์
(อาจารย์ ดร.นิศานาถ ไตรผล)


..... อาจารย์ที่ปรึกษาวิทยานิพนธ์ร่วม
(ดร.พิทักษ์ เหล่ารัตนกุล)


..... กรรมการ
(รองศาสตราจารย์ ดนัย อารยะพงษ์)


..... กรรมการ
(ผู้ช่วยศาสตราจารย์ ดร.ศิริอันว์ เจียมศิริเลิศ)

ฤทธิ์ตัน สนัตโน : ผลของสารช่วยกระจายตัวแอมโมเนียมพอลิอะคริเลตต่อพฤติกรรมการกระจายตัวของสารแขวนลอยเดซอร์โคเนตไททาเนตในน้ำสำหรับการขึ้นรูปด้วยวิธีหล่อเทป (EFFECTS OF AMMONIUM POLYACRYLATE DISPERSANT ON DEFLOCCULATING BEHAVIOR OF LEAD ZIRCONATE TITANATE AQUEOUS SUSPENSION FOR TAPE CASTING METHOD) อ.ที่ปรึกษา : อ.ดร.นิศานาถ เตชะผล , อ.ที่ปรึกษาร่วม : ดร.พิทักษ์ เนลารัตนกุล, 62 หน้า

247527

งานวิจัยนี้เป็นการศึกษาผลของปริมาณสารช่วยกระจายตัวแอมโมเนียมพอลิอะคริเลตที่มีชื่อทางการค้าว่า Dispex A40 และค่าความเป็นกรด-ด่างต่อสมบัติต่าง ๆ ของสารแขวนลอยเดซอร์โคเนตไททาเนตที่เตรียมโดยใช้น้ำเป็นตัวกลาง ได้แก่ ค่า zeta potential พฤติกรรมการให้หลัก พฤติกรรมการตกตะกอน การกระจายตัวของอนุภาคเดซอร์โคเนตไททาเนต ในสารแขวนลอย และการดูดซับของสารช่วยกระจายตัวบนพื้นผิวอนุภาคของเดซอร์โคเนตไททาเนตจากการศึกษาพบว่าสารช่วยกระจายตัวแอมโมเนียมพอลิอะคริเลต ช่วยให้ออนุภาคกระจายตัวได้ดีขึ้นและสารแขวนลอยมีความเสถียรมากขึ้น โดยปริมาณสารช่วยกระจายตัวที่เหมาะสมในการเตรียมสารแขวนลอยให้มีการกระจายตัวของอนุภาคที่ดี มีความเสถียรสูงและมีสมบัติการให้หลักที่เหมาะสมสำหรับการขึ้นรูปแบบหล่อเทป คือ 0.7% โดยน้ำหนักของของแข็ง ค่าความเป็นกรด-ด่างของสารแขวนลอยเป็นอีกปัจจัยหนึ่งที่ส่งผลต่อการกระจายตัวของอนุภาคและสมบัติของสารแขวนลอยเนื่องจากค่าความเป็นกรด-ด่างมีผลโดยตรงต่อการแตกตัวและรูปร่างของพอลิอิเล็กโทรไลต์ จากการศึกษาพบว่า ในสารแขวนลอยที่มีค่าความเป็นกรด-ด่างเป็นกรด พอลิอิเล็กโทรไลต์แตกตัวได้ไม่ดีและขาดตัวเป็นก้อนทำให้ไม่สามารถแยกอนุภาคออกจากกันให้กระจายตัวอยู่ในสารแขวนลอยได้ สารแขวนลอยที่มีค่าความเป็นกรด-ด่างเป็นกรดจึงมีความเสถียรต่ำ ในขณะที่พอลิอิเล็กโทรไลต์แตกตัวได้ดีและสามารถแยกออกในสภาวะเป็นเบส ก่อให้เกิดแรงผลักแบบอิเล็กโทรสถะอิกระหว่างอนุภาค ส่งผลให้ออนุภาคกระจายตัวได้ดีและสารแขวนลอยมีความเสถียรสูง นอกจากนี้ยังพบว่า สารแขวนลอยที่มีค่าความเป็นกรด-ด่างเป็นเบสต้องการสารช่วยกระจายตัวปริมาณน้อยกว่าสารแขวนลอยที่มีค่าความเป็นกรด-ด่างเป็นกรดในการทำให้ออนุภาคกระจายตัวดีและสารแขวนลอยเดซอร์โคเนตไททาเนตในน้ำมีความเสถียรสูง

ภาควิชาวสัสดุศาสตร์..... ลายมือชื่อนิสิต..... ฤทธิ์ตัน สนัตโน¹
 สาขาวิชาเทคโนโลยีเชิงมิวสิก..... ลายมือชื่ออาจารย์ที่ปรึกษา..... นัน พ.
 ปีการศึกษา 2549..... ลายมือชื่ออาจารย์ที่ปรึกษาร่วม..... พงษ์ เนตร์คงบูรณะ²

4772444623: MAJOR CERAMIC TECHNOLOGY

KEY WORD: PZT / AQUEOUS SUSPENSION / TAPE CASTING / ADSORPTION

RUDEERAT SUNTAKO : EFFECTS OF AMMONIUM POLYACRYLATE
DISPERSANT ON DEFLOCCULATING BEHAVIOR OF LEAD ZIRCONATE
TITANATE AQUEOUS SUSPENSION FOR TAPE CASTING METHOD. THESIS
ADVISOR : NISANART TRAIPHOL, Ph.D., THESIS COADVISOR : PITAK
LOARATANAKUL, Ph.D., 62 pp.

247527

This research studied the effects of ammonium polyacrylate (APA) dispersant concentration in the form of Dispex A40, and pH on properties of PZT aqueous suspensions. Zeta potential, rheological behaviors, sedimentation behaviors, particle dispersion and adsorption of the dispersant on PZT surface were investigated. The results showed that APA promoted particle dispersion, leading to stability of the suspensions. The optimum dispersant concentration to produce a well-dispersed and highly stable suspension was found to be 0.7 wt% Dispex A40. The suspension pH was another factor influencing particle dispersion and suspension properties due to its direct effects on dissociation and conformation of the polyelectrolyte. In an acidic pH suspension, the polyelectrolyte weakly dissociated and coiled, resulting in a poorly dispersed and unstable suspension. Conversely, the polyelectrolyte highly dissociated with stretched chains in a basic pH suspension, providing electrosteric stabilization. As a result, the particles were well-dispersed and the suspension with basic pH was highly stable. In addition, this study found that the basic pH suspension required less dispersant than the acidic one in order to obtain a well-dispersed and highly stable PZT aqueous suspension.

Department Materials Science Student's signature.....

Field of study Ceramic Technology Advisor's signature.....

Academic year 2006 Co-advisor's signature.....

กิตติกรรมประกาศ

วิทยานิพนธ์นี้สามารถสำเร็จลุล่วงไปได้ด้วยดีเนื่องจากได้รับความอนุเคราะห์จากบุคคลและสถาบันต่าง ๆ ดังมีรายนามต่อไปนี้

1. อาจารย์ ดร.นิศาดา ไตรผล อาจารย์ที่ปรึกษาวิทยานิพนธ์ (ภาควิชาวัสดุศาสตร์ คณะวิทยาศาสตร์ จุฬาลงกรณ์มหาวิทยาลัย)
2. ดร.พิทักษ์ เหล่ารัตนกุล อาจารย์ที่ปรึกษาร่วมวิทยานิพนธ์ (ศูนย์เทคโนโลยีโลหะและวัสดุแห่งชาติ)
3. คณะกรรมการสอบวิทยานิพนธ์และอาจารย์สาขาวิชาเทคโนโลยีเชรามิก ภาควิชาวัสดุศาสตร์ คณะวิทยาศาสตร์ จุฬาลงกรณ์มหาวิทยาลัย ทุกท่านที่กรุณาส่งสอนวิชาและให้คำปรึกษาปัญหาต่าง ๆ
4. อาจารย์ ดร.รักษาดี ไวยวงศ์สกุล สถาบันวิจัยโลหะและวัสดุ จุฬาลงกรณ์มหาวิทยาลัย
5. คุณสุรศักดิ์ ไวยวงศ์สกุล สถาบันวิจัยโลหะและวัสดุ จุฬาลงกรณ์มหาวิทยาลัย
6. หน่วยปฏิบัติการวิจัยเชرامิกขั้นสูง ภาควิชาวัสดุศาสตร์ คณะวิทยาศาสตร์ จุฬาลงกรณ์มหาวิทยาลัย และศูนย์เทคโนโลยีโลหะและวัสดุแห่งชาติที่ให้การสนับสนุนทั้งทางด้านบุคลากร สถานที่ เครื่องมือและอื่น ๆ
7. สำนักงานพัฒนาวิทยาศาสตร์และเทคโนโลยีโลหะและวัสดุแห่งชาติ ที่กรุณาให้การสนับสนุนเงินทุนในการศึกษาและการทำวิจัยของผู้เขียน
8. พี่ ๆ เพื่อน ๆ และน้อง ๆ สาขาวิชาเทคโนโลยีเชรามิก ภาควิชาวัสดุศาสตร์ จุฬาลงกรณ์มหาวิทยาลัยทุกคนที่ให้ความช่วยเหลือ กำลังใจ และความสนับสนุนตลอดระยะเวลาใน การศึกษา
9. สมาชิกในครอบครัวของผู้เขียนทุกท่านที่เคยให้กำลังใจและให้การสนับสนุนทำให้การศึกษาสำเร็จลุล่วงด้วยดี

สารบัญ

หน้า

| | |
|---|----|
| บทคัดย่อภาษาไทย | ๑ |
| บทคัดย่อภาษาอังกฤษ | ๑ |
| กิตติกรรมประกาศ | ๒ |
| สารบัญ | ๓ |
| สารบัญตาราง | ๔ |
| สารบัญรูปภาพ | ๕ |
| บทที่ 1 บทนำ | ๑ |
| 1.1 ความเป็นมา | ๑ |
| 1.2 วัตถุประสงค์การทำวิจัย | ๒ |
| 1.3 ขอบเขตการทำวิจัย | ๓ |
| 1.4 ประโยชน์ที่คาดว่าจะได้รับ | ๓ |
| บทที่ 2 ทฤษฎีและงานวิจัยที่เกี่ยวข้อง | ๔ |
| 2.1 วัสดุเพียงชิ้นเล็กทริก | ๔ |
| 2.1.1 โครงสร้างผลึกและสมบัติของวัสดุเพียงชิ้นเล็กทริก | ๔ |
| 2.1.2 ปรากฏการณ์เพียงชิ้นเล็กทริก | ๕ |
| 2.2 การซึ่งรูปแบบหล่อเทป (tape casting) | ๕ |
| 2.3 พฤติกรรมการไหลของของไหล | ๗ |
| 2.3.1 ของไหลแบบนิวตันเนียน (newtonian fluid) | ๗ |
| 2.3.2 ของไหลแบบอนนิวตันเนียน (non-newtonian fluid) | ๘ |
| 2.3.3 ปัจจัยที่มีผลต่อพฤติกรรมการไหล | ๑๐ |
| 2.3.4 ค่าความหนืด | ๑๑ |
| 2.4 การกระจายตัวของอนุภาคเซรามิกในสารแขวนลอย | ๑๒ |
| 2.5 สารช่วยกระจายตัว (dispersants) | ๑๕ |
| 2.6 งานวิจัยที่เกี่ยวข้อง | ๑๖ |
| บทที่ 3 วิธีดำเนินการวิจัย | ๒๑ |
| 3.1 สมบัติทางกายภาพของ PZT | ๒๑ |
| 3.2 สมบัติของสารแขวนลอย PZT ในน้ำ | ๒๑ |
| 3.2.1 ค่า zeta potential ของสารแขวนลอย PZT ในน้ำ | ๒๑ |

| | |
|--|----|
| หน้า | |
| 3.2.2 ผลของปริมาณสารช่วยกระจายตัวต่อสมบัติของสารแขวนลอย PZT ในน้ำ | 21 |
| 3.2.3 ผลของค่า pH ต่อสมบัติของสารแขวนลอย PZT ในน้ำ..... | 22 |
| 3.3 การดูดซึบของสารช่วยกระจายตัวบนพื้นผิว PZT | 23 |
| 3.3.1 การเตรียมตัวอย่างมาตรฐานสำหรับศึกษาการดูดซึบของ ammonium polyacrylate ในรูปของ Dispex A40 บนพื้นผิวของอนุภาค PZT | 23 |
| 3.3.1.1 การเตรียมตัวอย่างมาตรฐานสำหรับศึกษาการดูดซึบในสารแขวนลอยที่มีค่า pH เป็นเบส | 23 |
| 3.3.1.2 การเตรียมตัวอย่างมาตรฐานสำหรับศึกษาการดูดซึบในสารแขวนลอยที่มีค่า pH เป็นกรด | 24 |
| 3.3.2 ผลของค่า pH และปริมาณสารช่วยกระจายตัวต่อการดูดซึบของ ammonium polyacrylate (APA) บนพื้นผิวของอนุภาค PZT | 25 |
| บทที่ 4 ผลการวิจัยและการวิเคราะห์ผล..... | 27 |
| 4.1 สมบัติทางกายภาพของ PZT | 27 |
| 4.1.1 โครงสร้างผลึกและองค์ประกอบของ PZT..... | 27 |
| 4.1.2 ลักษณะรูปร่างอนุภาคของ PZT | 27 |
| 4.1.3 การกระจายของขนาดอนุภาคของ PZT | 29 |
| 4.1.4 พื้นที่ผิวจำเพาะ (specific surface area) ของ PZT | 29 |
| 4.2 ผลของปริมาณ Dispex A40 ต่อสมบัติของสารแขวนลอย PZT ในน้ำ | 29 |
| 4.2.1 ผลของปริมาณ Dispex A40 ต่อค่า pH ของสารแขวนลอย | 29 |
| 4.2.2 การกระจายของขนาดอนุภาค (particle size distribution) | 30 |
| 4.2.3 ค่า zeta potential ของสารแขวนลอย PZT ในน้ำ | 31 |
| 4.2.4 พฤติกรรมการไหลตัว (rheological behavior) ของสารแขวนลอย PZT ในน้ำ..... | 31 |
| 4.2.5 ปริมาณ Dispex A40 ที่เหมาะสม..... | 33 |
| 4.2.6 ความเสถียรของสารแขวนลอย : การเปลี่ยนแปลงของค่าความหนืด | 34 |
| 4.2.7 ความเสถียรของสารแขวนลอย : การเปลี่ยนแปลงของค่า pH | 36 |
| 4.2.8 ความเสถียรของสารแขวนลอย : พฤติกรรมการตกตะกอน | 37 |
| 4.3 ผลของค่า pH ต่อสมบัติของสารแขวนลอย PZT ในน้ำ..... | 39 |
| 4.3.1 การกระจายของขนาดอนุภาค (particle size distribution) | 39 |
| 4.3.2 พฤติกรรมการตกตะกอนของสารแขวนลอย..... | 44 |

| | |
|--|----|
| หน้า | |
| 4.3.3 พฤติกรรมการไหลตัวของสารเขายาน络อย..... | 46 |
| 4.4 ผลของปริมาณ Dispex A40 และค่า pH ต่อการดูดซึบของสารช่วยกระจายตัว Dispex A40 บนพื้นผิวอนุภาค PZT | 48 |
| บทที่ 5 สรุปผลการวิจัย และข้อเสนอแนะ | 49 |
| 5.1 สรุปผลการวิจัย | 49 |
| 5.2 ข้อเสนอแนะในงานวิจัย | 49 |
| รายการอ้างอิง | 50 |
| ภาคผนวก | 52 |
| ภาคผนวก ก วัสดุและสารเคมีที่ใช้ในการทำวิจัย..... | 53 |
| ภาคผนวก ข กราฟตัวอย่างมาตรฐานสำหรับหาปริมาณการดูดซึบของ สารช่วยกระจายตัวบนพื้นผิวของอนุภาค PZT | 55 |
| ประวัติผู้เขียนวิทยานิพนธ์ | 62 |

สารบัญตาราง

| ตาราง | หน้า |
|--|------|
| ตารางที่ 4.1 ค่า 2 theta และ h k l d ของ $\text{Pb}(\text{Zr}_{0.44}\text{Ti}_{0.44}\text{Mn}_{0.44}\text{Ni}_{0.44}\text{Nb}_{0.44})\text{O}_3$ | 28 |
| ตารางที่ 4.2 ค่า pH ของสารเชวนลอยที่เตรียมด้วย Dispex A40 ในปริมาณต่าง ๆ | 30 |
| ตารางที่ 4.3 ค่า power law index (n) ของสารเชวนลอยที่ปริมาณ Dispex A 40 ต่าง ๆ | 33 |
| ตารางที่ 4.4 ช่วงการเปลี่ยนแปลงค่าความหนืดของสารเชวนลอย PZT ในน้ำ ที่ปริมาณ Dispex A40 ค่าต่าง ๆ ในระยะเวลา 72 ชั่วโมง | 35 |
| ตารางที่ 4.5 ช่วงการเปลี่ยนแปลงค่า pH ของสารเชวนลอย PZT ในน้ำที่ปริมาณ Dispex A40 ค่าต่าง ๆ ในระยะเวลา 72 ชั่วโมง..... | 37 |

สารบัญรูปภาพ

| รูปภาพ | หน้า |
|--|------|
| รูปที่ 2.1 โครงสร้างผลึกเพียวโซลิกทริคเซรามิก..... | 4 |
| รูปที่ 2.2 ปรากฏการณ์ของเพียวโซลิกทริคเซรามิก | 5 |
| รูปที่ 2.3 กระบวนการขึ้นรูปแบบหล่อเทปด้วยดอกเตอร์เบลด | 6 |
| รูปที่ 2.4 พฤติกรรมการไหลของของไอลแบบนิวโทเนียน..... | 7 |
| รูปที่ 2.5 พฤติกรรมการไหลของไอลแบบนอนนิวโทเนียนชนิดสมீโอนพลาสติก..... | 8 |
| รูปที่ 2.6 พฤติกรรมการไหลของไอลแบบนอนนิวโทเนียนชนิดไดล่าแทนต์ | 9 |
| รูปที่ 2.7 พฤติกรรมการไหลของไอลแบบนอนนิวโทเนียนชนิดพลาสติก..... | 9 |
| รูปที่ 2.8 พฤติกรรมการไหลของไอลแบบนอนนิวโทเนียนชนิด thixotropic และ rheopectic | 10 |
| รูปที่ 2.9 แบบจำลองแสดงการเคลื่อนที่ของระนาบชั้นของไอล | 11 |
| รูปที่ 2.10 การ stabilization ของอนุภาคเซรามิก..... | 13 |
| รูปที่ 2.11 ความสัมพันธ์ระหว่าง total interaction potential (V_T) , attraction (V_A) และ repulsion (V_R) ของอนุภาคในน้ำ | 15 |
| รูปที่ 2.12 ผลของการเข้มข้นของสารช่วยกระจายตัวต่อ zeta potential และ pH ของสารแขวนลอย PLZT 1% โดยปริมาตร | 17 |
| รูปที่ 2.13 การทดลองของสารแขวนลอย PZT และ BaTiO ₃ ในน้ำที่ 5% โดยปริมาตร ณ ค่า pH ต่าง ๆ | 17 |
| รูปที่ 2.14 Zeta potential ของสารแขวนลอย PZT ในน้ำ 1% โดยปริมาตรที่ค่า pH ต่าง ๆ | 18 |
| รูปที่ 2.15 Zeta potential ณ pH ต่าง ๆ ของสารแขวนลอย BaTiO ₃ ที่เติมปริมาณสารช่วยกระจายตัวแตกต่างกัน | 19 |
| รูปที่ 2.16 การดูดซับของ PAA-NH ₄ บนพื้นผิวที่เติมสารช่วยกระจายตัวปริมาณต่าง ๆ ในช่วง pH 6 – 11 | 19 |
| รูปที่ 2.17 ปริมาณการดูดซับของ poly (acrylic acid) (PAA), lignosulphonate (LS) และ comb copolymer (CP) บนพื้นผิว alumina เมื่อเติมสารช่วยกระจายตัวที่ความเข้มข้นต่าง ๆ | 20 |
| รูปที่ 3.1 แผนผังแสดงขั้นตอนการศึกษาสมบัติของสารแขวนลอย PZT ในน้ำที่ปริมาณสารช่วยกระจายตัวต่าง ๆ | 22 |

| หน้า | | |
|-------------|---|----|
| รูปภาพ | | |
| รูปที่ 3.2 | แผนผังแสดงขั้นตอนการศึกษาผลของค่า pH ต่อสมบัติของสารเขวนloy PZT ในน้ำ..... | 23 |
| รูปที่ 3.3 | แผนผังแสดงขั้นตอนการศึกษาผลของค่า pH และปริมาณสารช่วยกระจายตัวต่อ ^๑ การดูดซึบของ APA บนพื้นผิวของอนุภาค PZT ในสารเขวนloy PZT ในน้ำ 20% โดยน้ำหนัก ที่มีปริมาณ Dispex A40 ๐ – ๑% โดยน้ำหนักของแข็ง..... | 26 |
| รูปที่ 4.1 | โครงสร้างผลึกและองค์ประกอบของ PZT | 27 |
| รูปที่ 4.2 | ลักษณะรูปร่างอนุภาคของ PZT จากกล้อง optical microscope | 29 |
| รูปที่ 4.3 | การกระจายของขนาดอนุภาคของสารเขวนloy PZT 60% โดยน้ำหนัก..... | 30 |
| รูปที่ 4.4 | ค่า zeta potential ของสารเขวนloy ที่ความเข้มข้นของ Dispex A40 ต่าง ๆ..... | 31 |
| รูปที่ 4.5 | กราฟแสดงความสัมพันธ์ระหว่างแรงเฉือน (shear rate) และความหนืดของ สารเขวนloy PZT ที่ปริมาณ Dispex A40 ที่แตกต่างกัน..... | 32 |
| รูปที่ 4.6 | กราฟแสดงความสัมพันธ์ระหว่างปริมาณ Dispex A40 และความหนืดที่ shear rate 46.5 และ 93 / s ของสารเขวนloy PZT | 34 |
| รูปที่ 4.7 | ความหนืดของสารเขวนloy PZT ที่ shear rate 46.5 / s เมื่อเวลาผ่านไป 24 , 48 และ 72 ชั่วโมง ที่ปริมาณ Dispex A40 ต่าง ๆ..... | 35 |
| รูปที่ 4.8 | ค่า pH ของสารเขวนloy PZT เมื่อเวลาผ่านไป 24 , 48 และ 72 ชั่วโมง ที่ปริมาณ Dispex A40 ต่าง ๆ..... | 36 |
| รูปที่ 4.9 | การทดลองของสารเขวนloy ที่เตรียมด้วยปริมาณ Dispex A40 ต่าง ๆ เมื่อเวลาผ่านไป 7 วัน..... | 38 |
| รูปที่ 4.10 | ความสัมพันธ์ระหว่างปริมาณ Dispex A40 และสัดส่วนของความสูง ของตะกอน (h) กับความสูงของสารเขวนloy PZT เริ่มขึ้น (h_0)..... | 38 |
| รูปที่ 4.11 | การกระจายของขนาดอนุภาคของสารเขวนloy PZT 60% โดยน้ำหนัก ที่เติม Dispex A40 ๑% โดยน้ำหนักของแข็งที่มี pH เป็น 3.2 , 10.1 และ 11.9 | 40 |
| รูปที่ 4.12 | ขนาดอนุภาคเฉลี่ยของสารเขวนloy ที่มี pH เป็น 3.2, 10.1 และ 11.9 | 40 |
| รูปที่ 4.13 | ลักษณะการกระจายตัวของอนุภาคในสารเขวนloy PZT ในน้ำที่มีค่า pH ต่าง ๆ..... | 41 |

หน้า

| | |
|--|----|
| รูปที่ 4.14 รูปแบบการดูดซึบของ anionic polyelectrolyte บนผิวของอนุภาคที่เปลี่ยนแปลงตาม pH และความเข้มข้นของไอออนในสารแขวนลอย (ionic strength) | 43 |
| รูปที่ 4.15 ไมเดลของอนุภาคในสารแขวนลอย PZT | 45 |
| รูปที่ 4.16 การตอกตะกอนของสารแขวนลอย PZT ที่มี pH เป็น 3.2 , 10.1 และ 11.9 เมื่อเวลาผ่านไป | 46 |
| รูปที่ 4.17 สัดส่วนความสูงของการตอกตะกอนของสารแขวนลอย PZT ที่มี pH เป็น 3.2 , 10.1 และ 11.9 เมื่อเวลาผ่านไป 7 วัน..... | 46 |
| รูปที่ 4.18 ความหนืดของสารแขวนลอย PZT ที่มี pH เป็น 3.2 , 10.1 และ 11.9..... | 47 |
| รูปที่ 4.19 กราฟแสดงความสัมพันธ์ระหว่างปริมาณการดูดซึบของสารช่วยกระเจาด้วย ammonium polyacrylate ในรูปของ Dispex A40 บนพื้นผิวอนุภาค PZT ในสารแขวนลอยที่ pH ต่าง ๆ | 48 |